









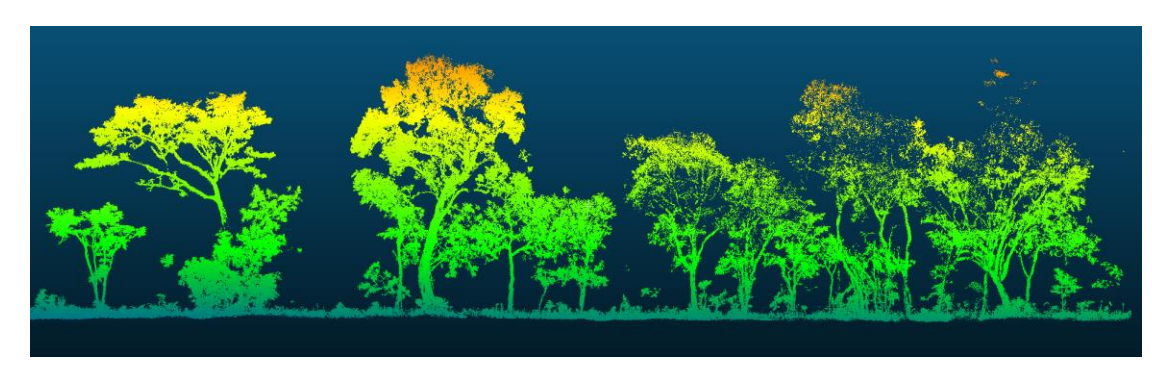


TRIDIFOR – Méthodes innovantes d'analyse de données 3D en forêt

Équations allométriques dérivées de données LiDAR terrestres et importance pour l'estimation de la biomasse aérienne dans les forêts de Miombo de la R.D. Congo

S. Takoudjou Momo^{†*}, J. Ilunga Muledi[†], P. Ploton, A. Lamulamu, W. Kombe, B. Mupari, D. Nkulu, B. Amisi Mushabaa, B. Sonké, N. Barbier

contact: takoudjoumomo@gmail.com







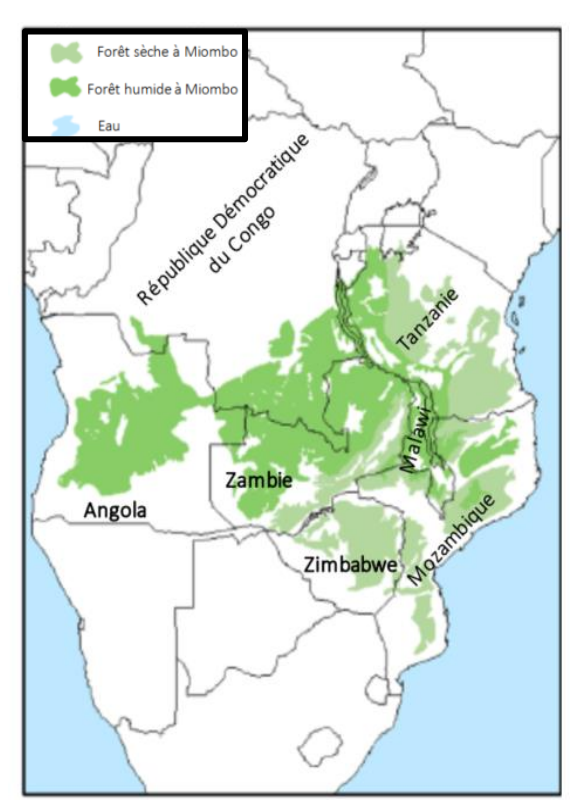






☐ Forêt claire de type Miombo

✓ Localisation en RDC



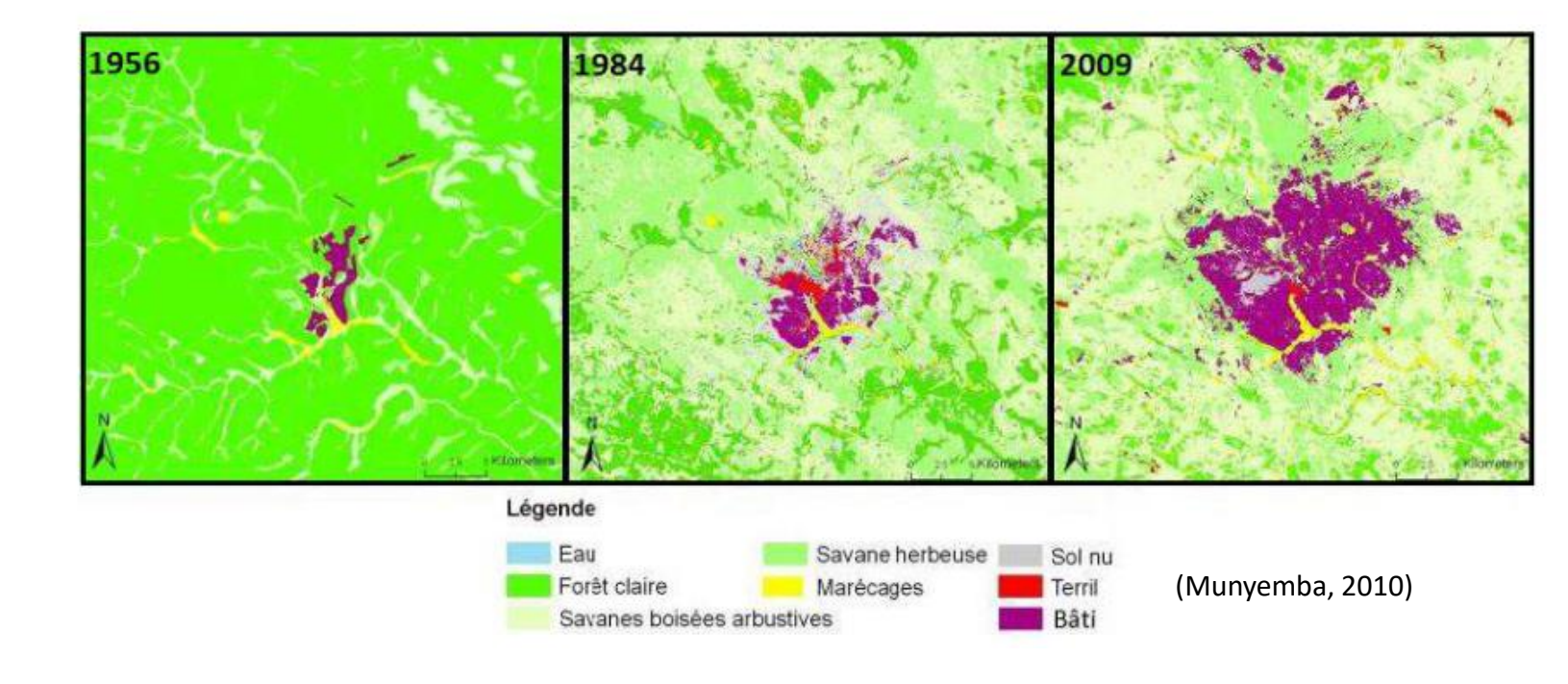


- ☐ Forêt claire de type Miombo
 - ✓ Localisation en RDC
 - ✓ Fortes pressions anthropiques





Habitantes de Kinandu sur un site de fabrication de charbon de bois, Image de Didier Makal



- ☐ Forêt claire de type Miombo
 - ✓ Localisation en RDC
 - ✓ Fortes pressions anthropiques
 - ✓ Contribution du Miombo dans la REDD+ et Mesures, Notification et Vérification (MNV)

Absence d'équations allométriques

☐ Recommandations du GIEC sur MNV



2019 Refinement to the 2006 IPCC Guidelines for National Greenhouse Gas Inventories

Edited by Eduardo Calvo Buendia, Kiyoto Tanabe, Andrej Kranjc,
Bansansuren Jamsanjav, Maya Fukuda, Sekai Ngarize,
Akiya Cado, Vurij Bangabanko, Banda Sharmanan and Sandro Badarici



Task Force on National Greenhouse Gas Inventories

Recommandations du GIEC sur MNV

IDGU

2019 Refinement to the 2006 IPCC Guidelines for National Greenhouse Gas Inventories

Edited by Eduardo Calvo Buendia, Kiyoto Tanabe, Andrej Kranjc,
Baasansuren Jamsranjav, Maya Fukuda, Sekai Ngarize,
Akira Osako, Yurii Pyrozhenko, Pavel Shermanau and Sandro Federici



Task Force on National Greenhouse Gas Inventories

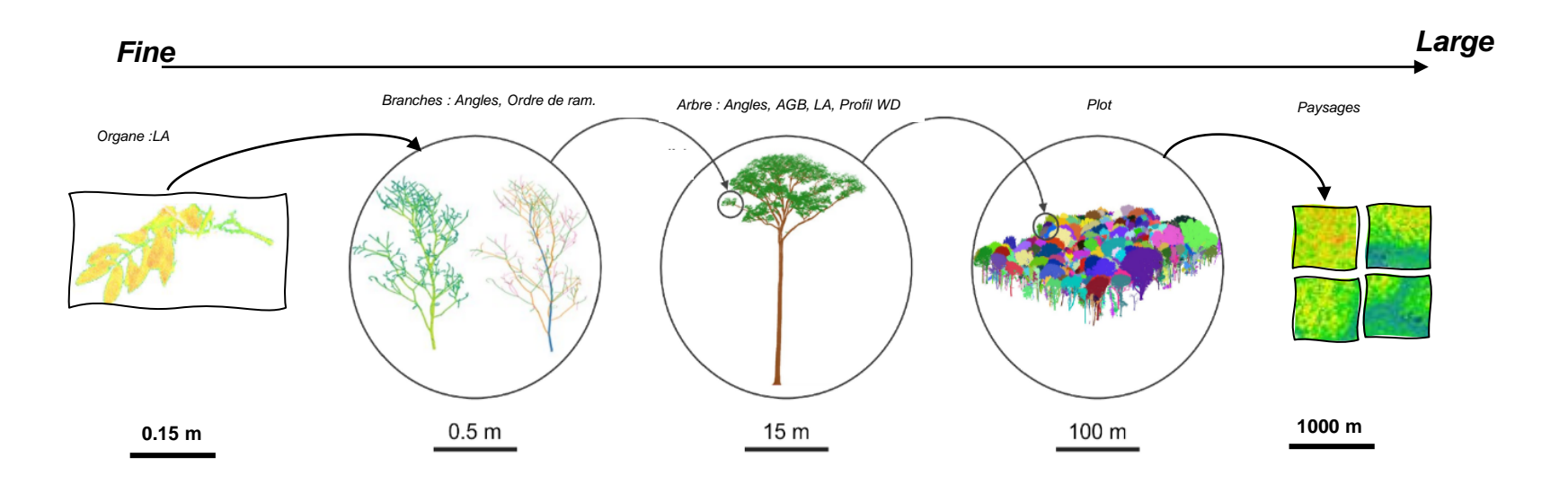
- ✓ New active remote sensing technology: Terrestrial Laser Scanning (TLS)
 - TLS provides non-destructive and highly detailed measurements independent of the size and shape of a tree that are otherwise only available from destructive methods. have proven useful for large and complex tropical trees in particular

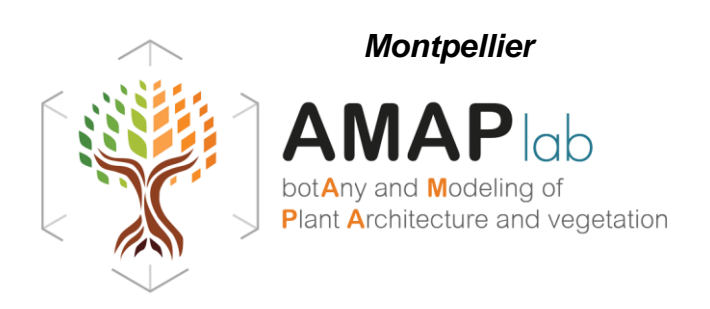


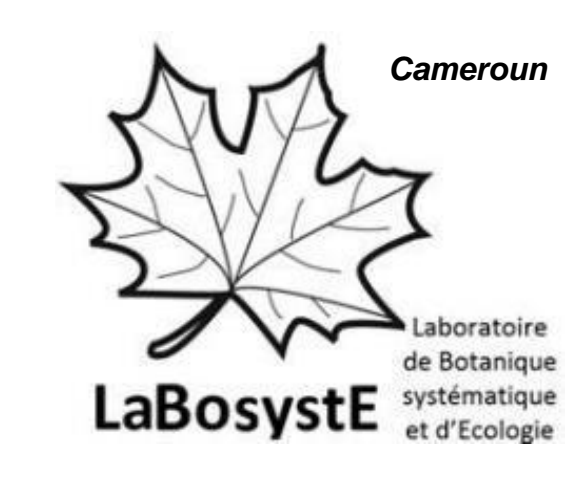
Recommends the use of this kind of data to achieve level III of accuracy in tropical forest biomass estimates



☐ AGB, Equations allométriques & Variations de Densité de bois







☐ AGB, Equations allométriques & Variations de Densité de bois



Using terrestrial laser scanning data to estimate large tropical trees biomass and calibrate allometric models: A comparison with traditional destructive approach

```
Stéphane Momo Takoudjou<sup>1,2</sup> | Pierre Ploton<sup>2</sup> | Bonaventure Sonké<sup>1</sup> |

Jan Hackenberg<sup>3,4</sup> | Sébastien Griffon<sup>2</sup> | Francois de Coligny<sup>2</sup> | Narcisse Guy Kamdem<sup>1</sup> |

Moses Libalah<sup>1</sup> | Gislain II Mofack<sup>1</sup> | Gilles Le Moguédec<sup>2</sup> | Raphaël Pélissier<sup>2</sup> |

Nicolas Barbier<sup>1,2</sup>
```

☐ AGB, Equations allométriques & Variations de Densité de bois

www.nature.com/scientificreports



natureresearch

Locale



Forest Ecology and Management

journal homepage: www.elsevier.com/locate/foreco



Using volume-weighted average wood specific gravity of trees reduces bias in aboveground biomass predictions from forest volume data



Le Bienfaiteur Takougoum Sagang^{a,c,*}, Stéphane Takoudjou Momo^{a,b}, Moses Bakonck Libalah^{a,b}, Vivien Rossi^d, Noël Fonton^d, Gislain II Mofack^a, Narcisse Guy Kamdem^a, Victor François Nguetsop^c, Bonaventure Sonké^a, Ploton Pierre^b, Nicolas Barbier^b

d Commission des Forêts d'Afrique Centrale (COMIFAC), Yaoundé BP 2572, Cameroon

	Performance							
Models	R ²	RSE	AIC	В	CV			
(m_1) VWWD = $a + b*WD_{Stu}$	0.87	0.049	-2629.1	0.86	14.8			
$(m_2) VWWD = a + b*WD_{Stu} + c*DBH$	0.88	0.046	-2732.3	0.75	15.2			
$(m_3) VWWD = a + b*WD_{Stu} + c*DBH + d*Sm$	0.89	0.045	-2759	0.74	15			
(m_4) VWWD = $a + b$ * WD _{GWD}	0.78	0.063	-2200.6	1.41	21.8			
$(m_5) VWWD = a + b*WD_{GWD} + c*DBH$	0.81	0.059	-2320.9	1.19	23.8			
$(m_6) VWWD = a + b*WD_{GWD} + c*DBH + d*Sm$	0.81	0.058	-2338.9	1.18	23.7			

0051

Régionale

Leveraging Signatures of Plant Functional Strategies in Wood Density Profiles of African Trees to Correct Mass Estimations From Terrestrial Laser Data

Stéphane Takoudjou Momo 1,2,15, Pierre Ploton 2,15, Olivier Martin-Ducup2, Romain Lehnebach 3, Claire Fortunel 2, Le Bienfaiteur Takougoum Sagang 1,2, Faustin Boyemba4, Pierre Couteron2, Adeline Fayolle 5, Moses Libalah 1, Joel Loumeto6, Vincent Medjibe 7, Alfred Ngomanda8, Diosdado Obiang9, Raphaël Pélissier 2, Vivien Rossi 1,7,11, Olga Yongo 1, PREREDD Collaborators , Bonaventure Sonké 4, Nicolas Barbier 2*

a Plant Systematic and Ecology Laboratory (LaBosystE), Department of Biology, Higher Teachers' Training College, University of Yaoundé I, P.O. Box 047, Yaoundé,

^b AMAP, IRD, CNRS, INRA, Univ Montpellier, CIRAD, Montpellier, France

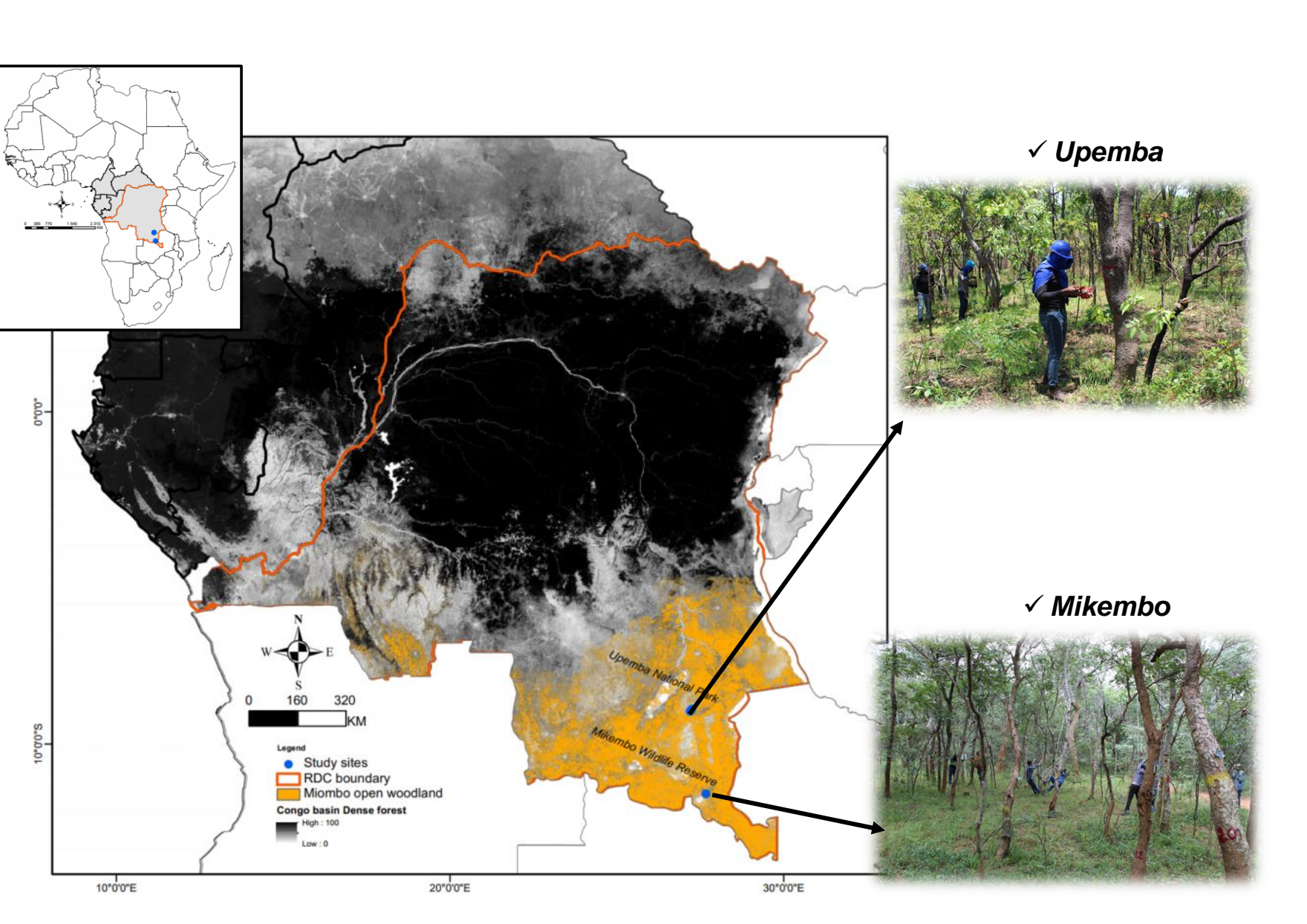
^c Laboratory of Applied Botany, Faculty of Sciences, University of Dschang, Dschang, Cameroon

Objectifs

Proposer des équations allométriques de biomasse dérivées des données TLS spécifique pour la forêt de type Miombo présent en R.D. Congo

✓ Calibrer et valider des équations allométriques issues des données TLS

✓ Comparer ces équations allométriques avec celles de la littérature



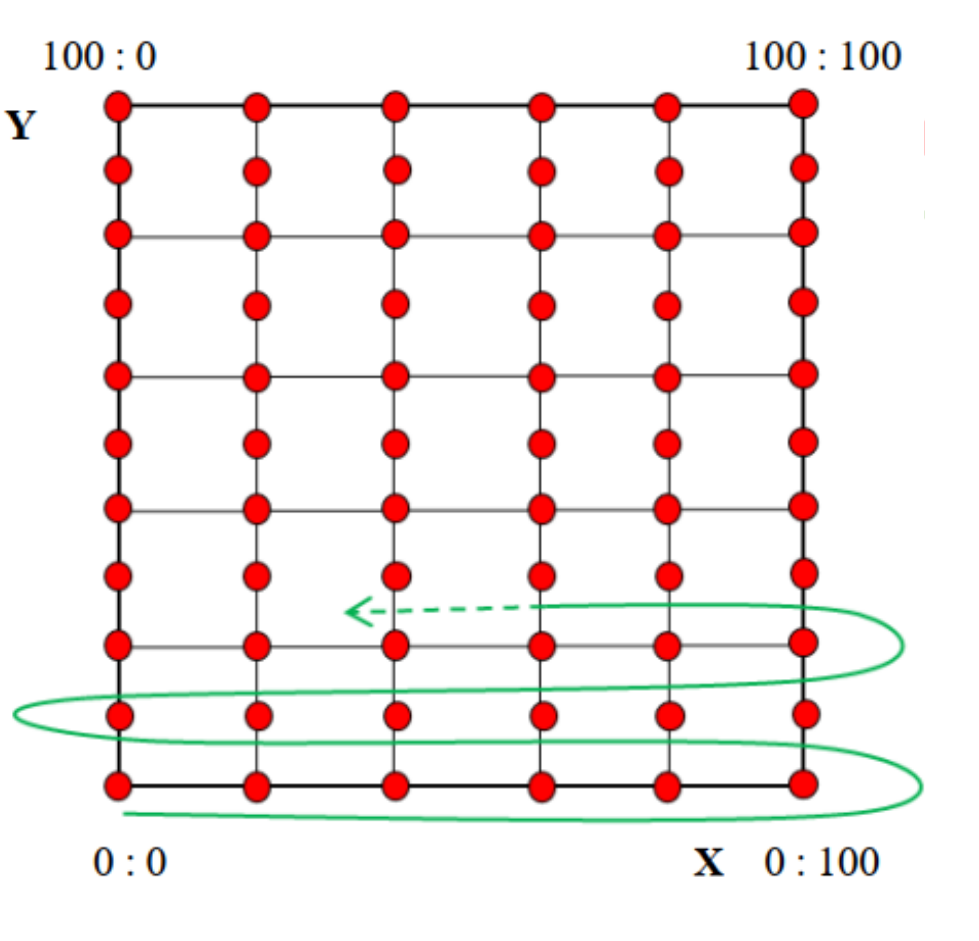








☐ Inventaires floristiques et scans TLS



✓ Installation d'une parcelle

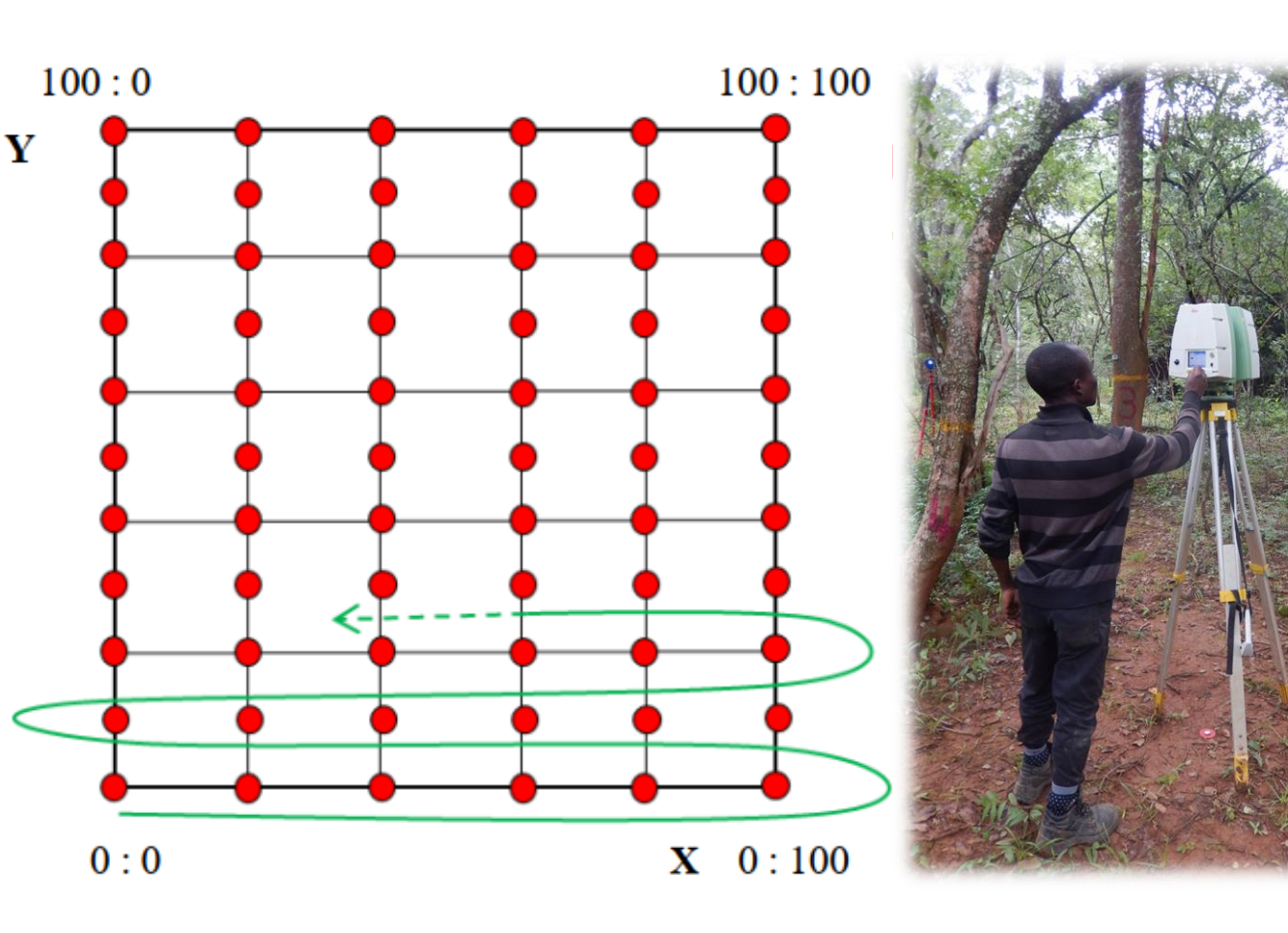
√ 5 parcelles de 1 ha

- 1645 arbres
- 51 espèces





☐ Inventaires floristiques et scans TLS





√ Scan d'une parcelle

☐ Collecte et traitement des échantillons de bois









□ Collecte et traitement des échantillons de bois

✓ Terrain



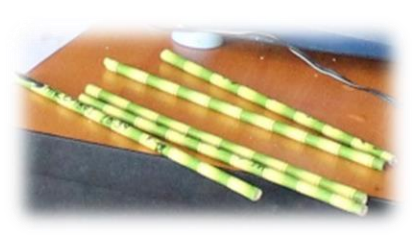


✓ 194 échantillons de bois ont été collectés

Mikembo35 arbres19 espèces

Upemba158 arbres36 espèces

√ Laboratoire







$$WD = \frac{Masse\ seche}{Volume\ frais}$$
 (en g.cm⁻³)





□ Collecte et traitement des échantillons de bois

✓ Terrain







✓ 194 échantillons de bois ont été collectés

Mikembo35 arbres19 espèces

Upemba158 arbres36 espèces

✓ Laboratoire







$$WD = \frac{Masse sèche}{Volume frais} \quad (en g.cm^{-3})$$





Intégration des variations verticales de WD :

calcul du "Volume − Weighted WD"

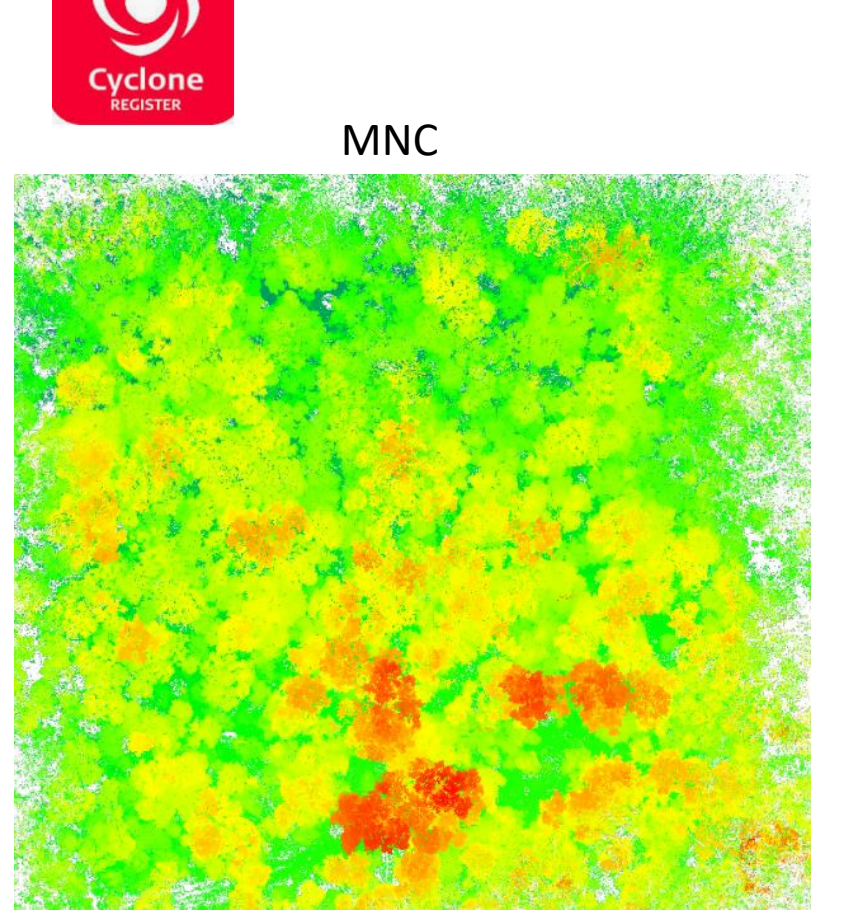
	Parameters				Performance					
Models	a	b	с	d	R ²	RSE	AIC	В	CV	
(m_1) VWWD = $a + b*WD_{Stu}$	0.07842 (0.00682)	0.78915 (0.01076)			0.87	0.049	-2629.1	0.86	14.8	
$(m_2) VWWD = a + b*WD_{Stu} + c*DBH$	0.05455 (0.00679)	0.78326 (0.01011)	0.00048 (0.00005)		0.88	0.046	-2732.3	0.75	15.2	

Vue de Profil

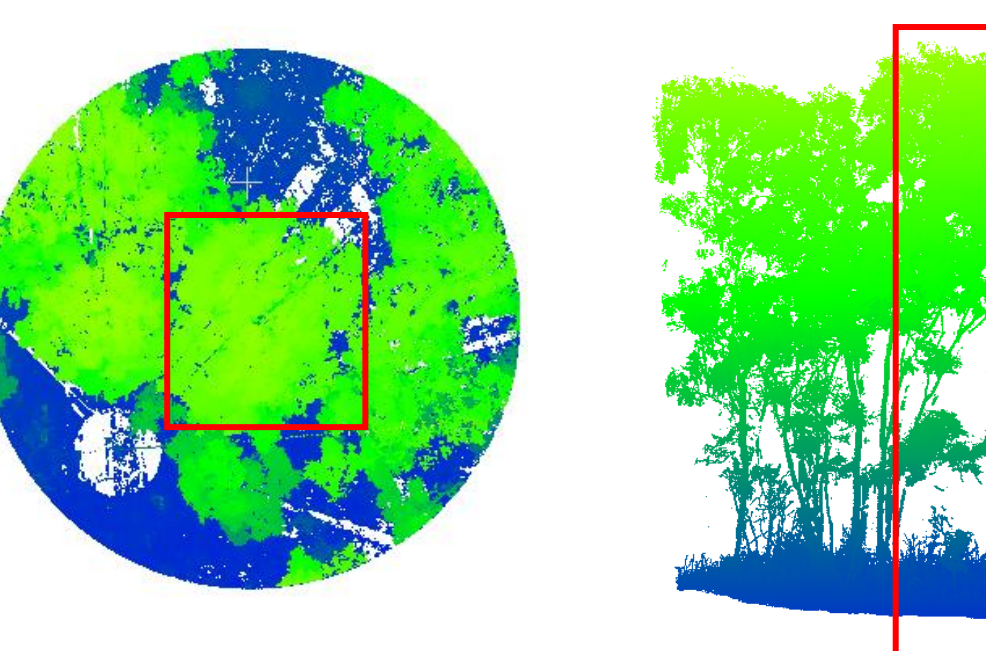
Extraction des arbres des nuages de points

☐ Semi automatique

✓ Action non Supervisée

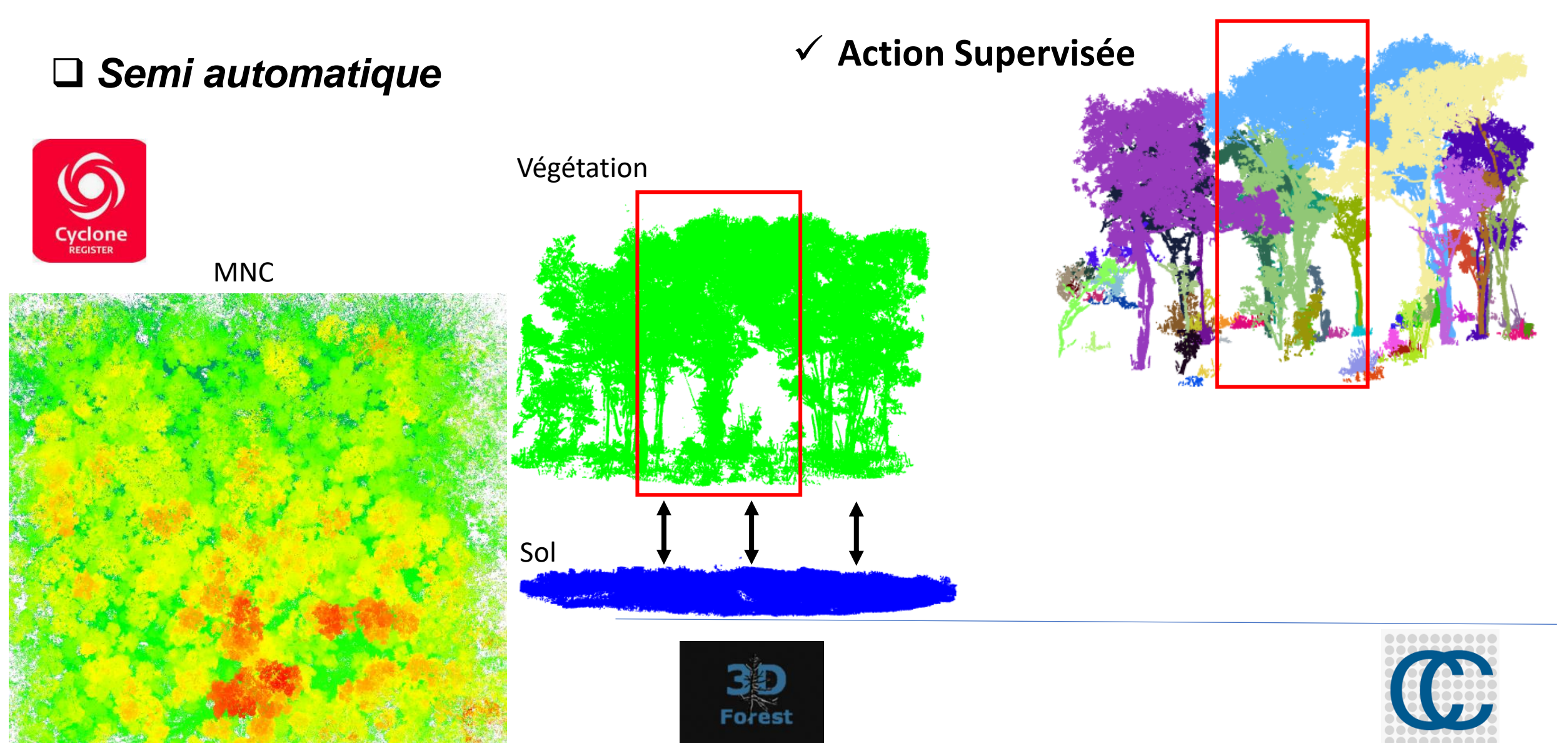


Vue de dessus





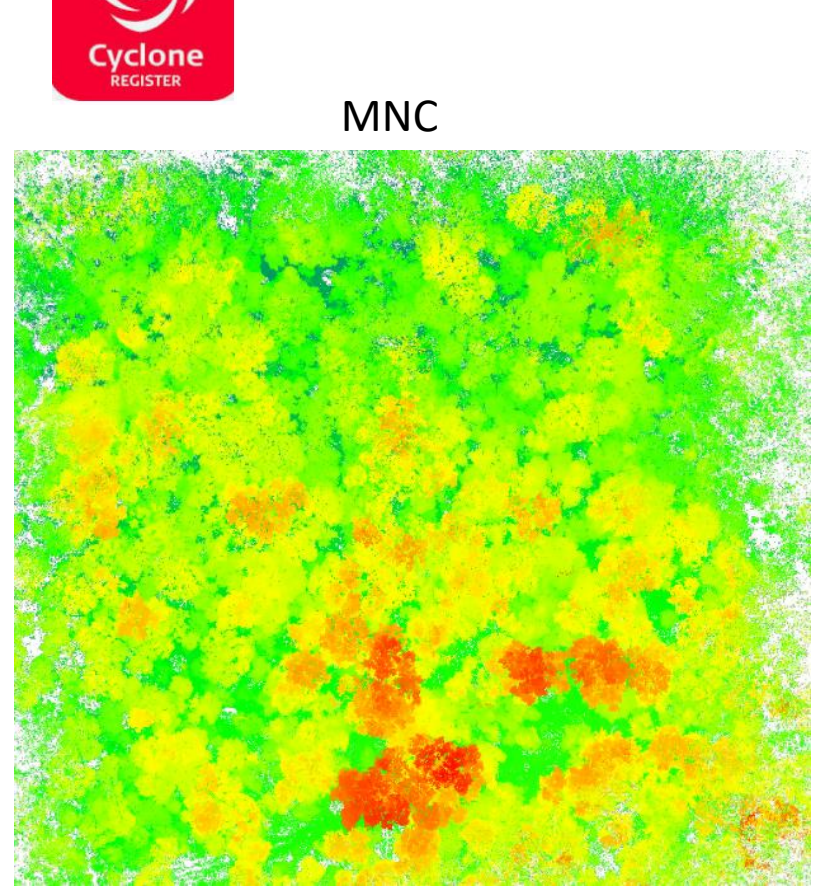
Extraction des arbres des nuages de points



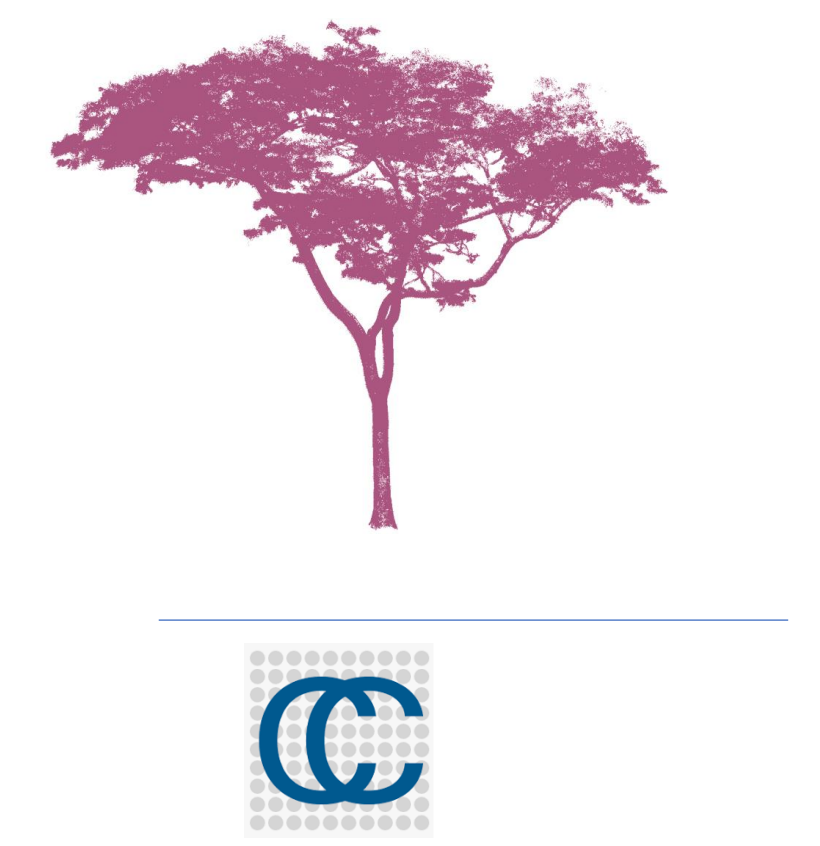
Extraction des arbres des nuages de points

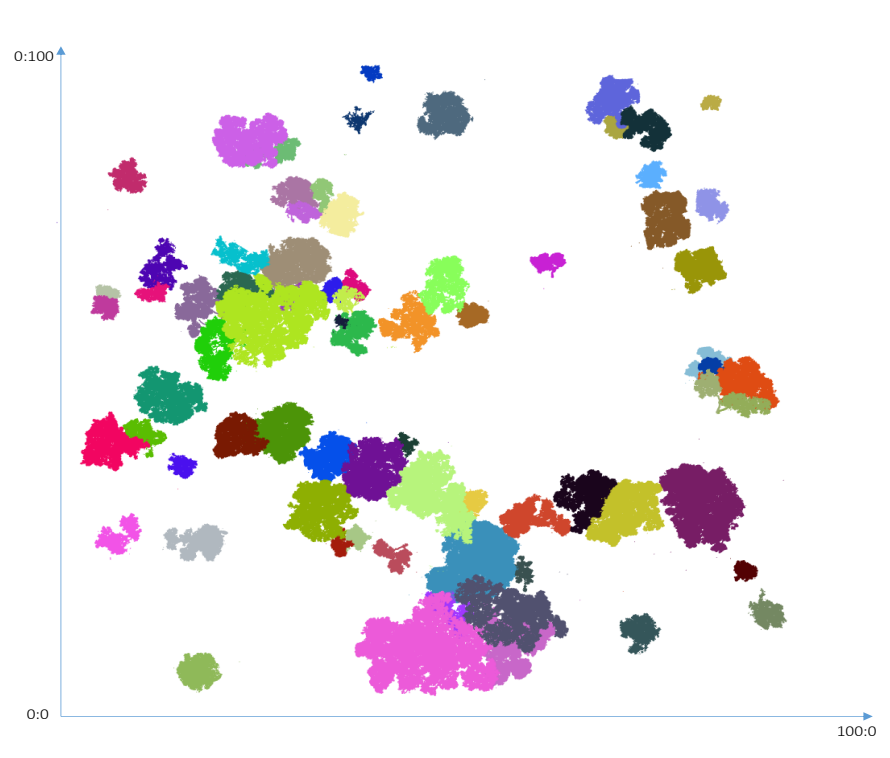
☐ Semi automatique

✓ Action Supervisée



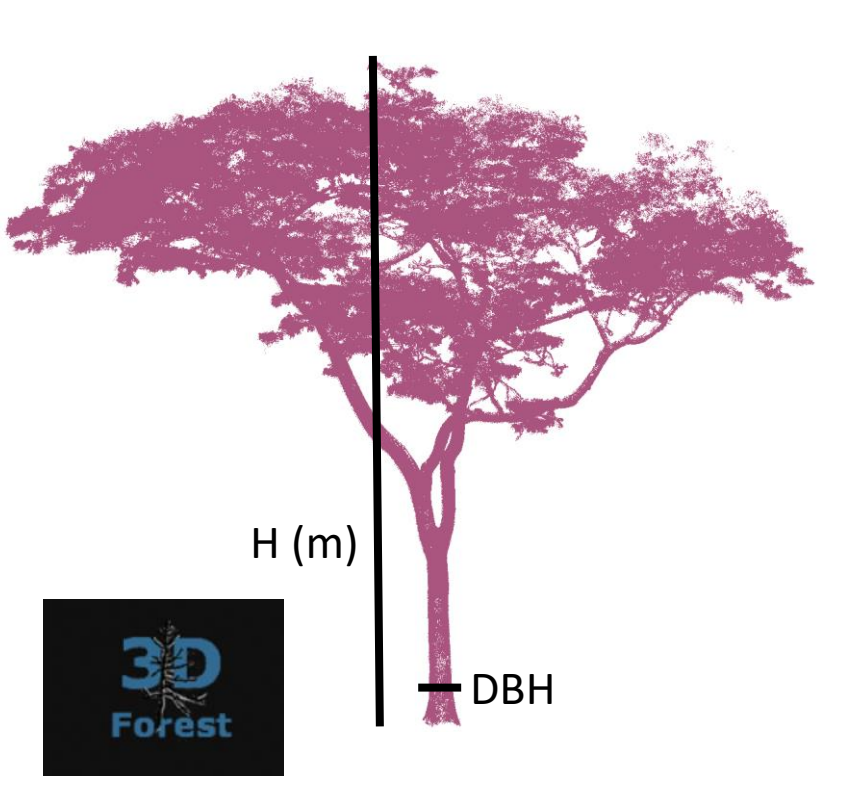
Arbre extrait



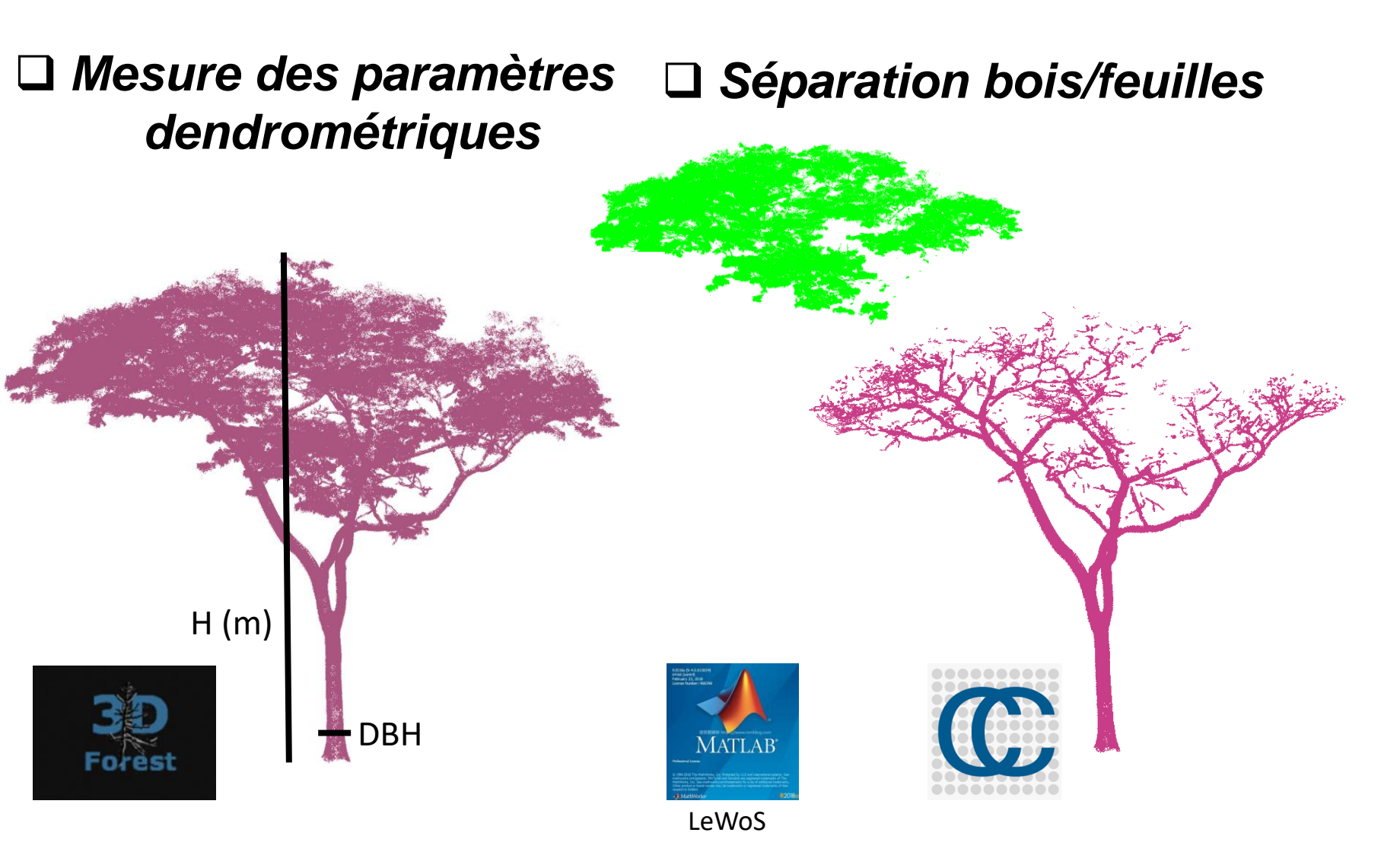


Traitement des données TLS

☐ Mesure des paramètres dendrométriques



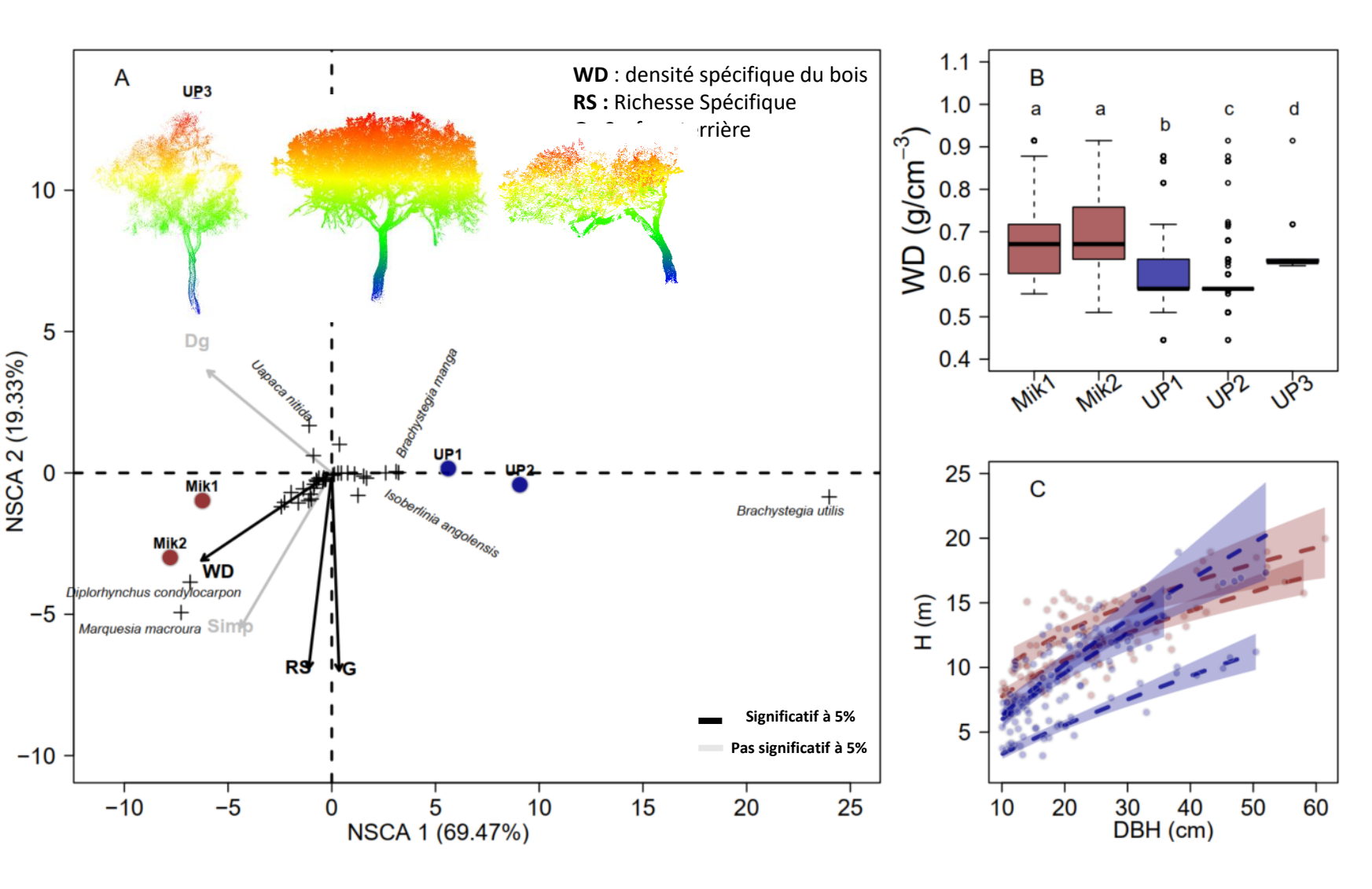
Traitement des données TLS



Traitement des données TLS

☐ Mesure des paramètres ☐ Séparation bois/feuilles ☐ Modélisation Cylindrique dendrométriques TreeQSM V. 2.3.3 H (m) DBH LeWoS AMAPstudio-Scan 1.3-5250

Composition floristique et structurale



- √ (panel A) NSCA explique 88,8% de la variation floristique et sépare les plots en 3 groupes distinct
- √ (panel B) WD varie
 significativement entre les sites
- √ (panel C) A part le plot UP3, la relation H:DBH entre les sites est relativement homogène

Calibration des équations allométriques

□ Conversion de volume en biomasse aérienne (AGB)

$$\checkmark AGB (Mg) = Vol_{tot} \times WD^*$$

Calibration des équations allométriques

□ Conversion de volume en biomasse aérienne (AGB)

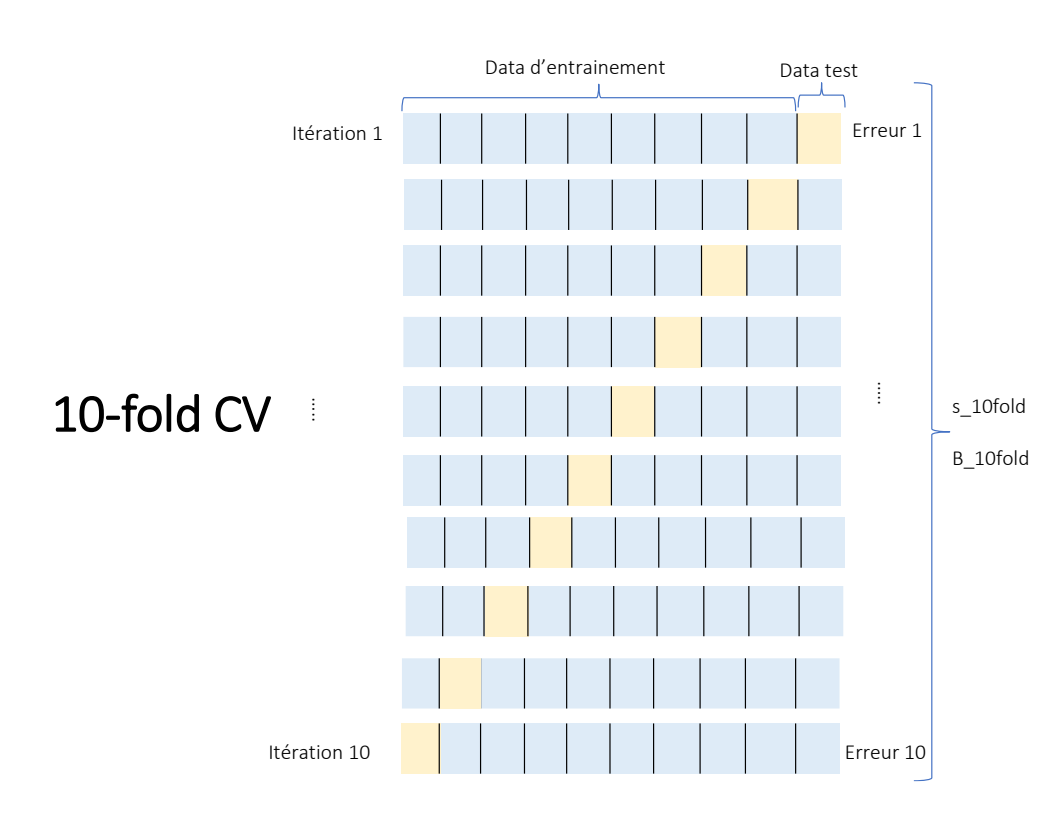
$$\checkmark AGB (Mg) = Vol_{tot} \times WD^*$$

☐ Calibration des équations

N°	Madal	Critères de performance							
	Model	R ²	AIC	BIC	S (%)	B (%)			
Mod. 1:	In(AGB) ~ a + b × In(DBH)	0.91	193.44	203.54	16.22	2.48			
Mod. 2:	$ln(AGB) \sim a + b \times ln(DBH^2 \times H)$	0.91	187.27	197.37	14.8	-0.56			
Mod. 3:	$ln(AGB) \sim a + b \times ln(DBH^2 \times H \times WD)$	0.92	158.76	168.85	12.85	-0.62			
Mod. 4:	$ln(AGB) \sim a + b \times ln(DBH^2) + c \times ln(H) + d \times ln(WD)$	0.93	142.74	159.57	12.02	0.91			

Validation des équations allométriques

N°	Model	10-fold CV			Sp	atiale	CV
	Model	R ²	S (%)	B (%)	\mathbb{R}^2	S (%)	B (%)
Mod. 1:	In(AGB) ~ a + b × In(DBH)	0.92	16.27	2.49	0.92	19.76	2.42
Mod. 2:	In(AGB) \sim a + b × In(DBH ² × H)	0.9	14.84	-0.44	0.90	15	0.67
Mod. 3:	In(AGB) \sim a + b × In(DBH ² × H × WD)	0.9	13.04	-0.3	0.91	13.04	0.77
Mod. 4:	$ln(AGB) \sim a + b \times ln(DBH^2) + c \times ln(H) + d \times ln(WD)$	0.92	16.21	2.43	0.92	19.65	2.51



Validation des équations allométriques

N°	Model	10	0-fold (CV	Sp	0.92 19.76 2.42	
IN	Model	R ² S (%) B (%) R ² S (%) B 0.92 16.27 2.49 0.92 19.76 2 0.9 14.84 -0.44 0.90 15 0 0.9 13.04 -0.3 0.91 13.04 0	B (%)				
Mod. 1: In((AGB) ~ a + b × ln(DBH)	0.92	16.27	2.49	0.92	19.76	2.42
Mod. 2: In((AGB) ~ a + b × ln(DBH ² × H)	0.9	14.84	-0.44	0.90	15	0.67
Mod. 3: In((AGB) \sim a + b × ln(DBH 2 × H × WD)	0.9	13.04	-0.3	0.91	13.04	0.77
Mod. 4: In((AGB) \sim a + b × ln(DBH 2) + c × ln(H) + d × ln(WD)	0.92	16.21	2.43	0.92	19.65	2.51

Site 2 Site 1

Spatiale

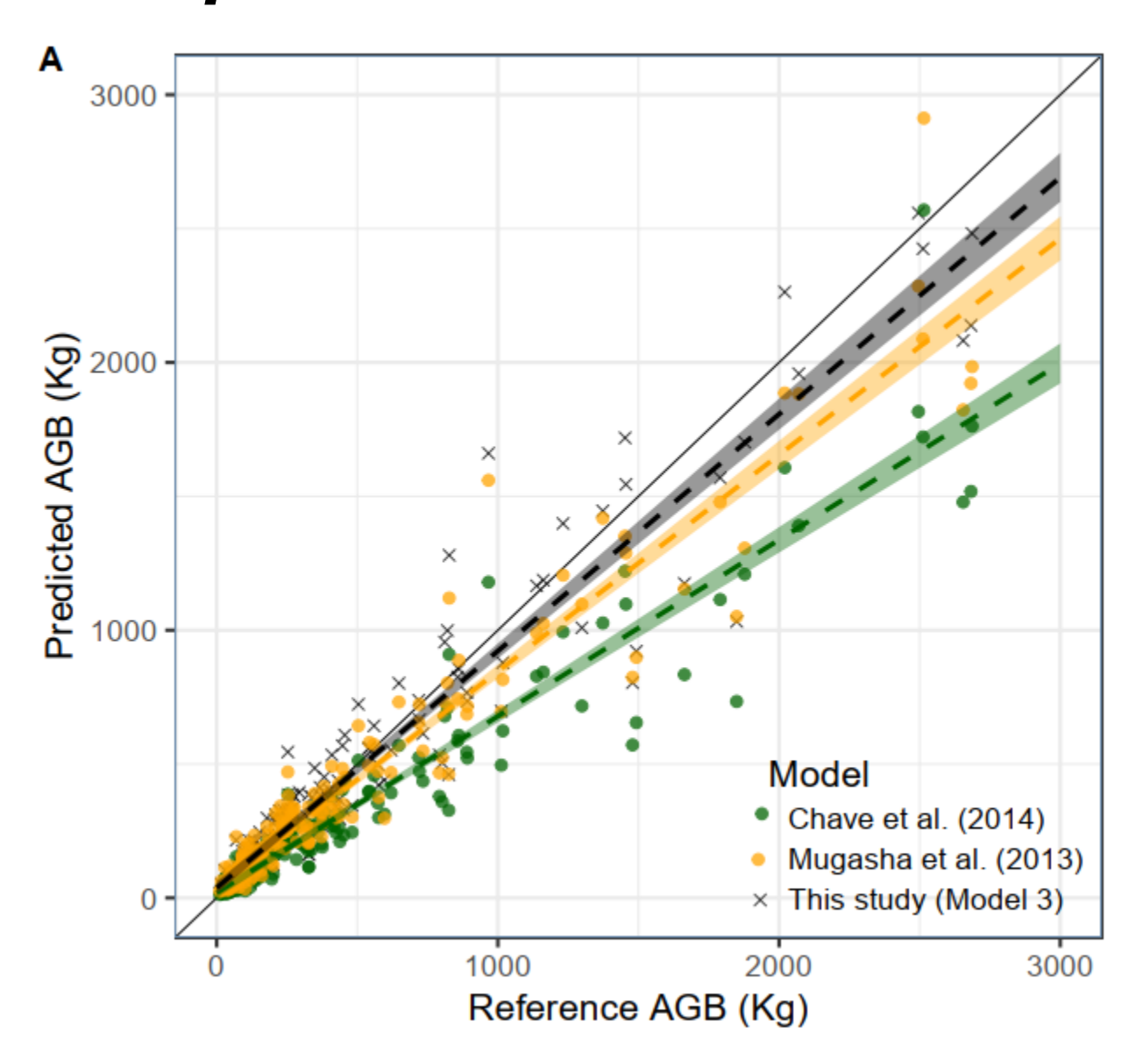
Validation des équations allométriques

N°	Model	Model 10-fold CV			Spatiale CV		
	Model	R ² S (%) B (%) 0.92 16.27 2.49 (0.9 14.84 -0.44 (0.9 13.04 -0.3 (R^2	S (%)	B (%)		
Mod. 1:	In(AGB) ~ a + b × In(DBH)	0.92	16.27	2.49	0.92	19.76	2.42
Mod. 2:	In(AGB) \sim a + b × In(DBH 2 × H)	0.9	14.84	-0.44	0.90	15	0.67
Mod. 3:	In(AGB) \sim a + b × In(DBH ² × H × WD)	0.9	13.04	-0.3	0.91	13.04	0.77
Mod. 4:	$ln(AGB) \sim a + b \times ln(DBH^2) + c \times ln(H) + d \times ln(WD)$	0.92	16.21	2.43	0.92	19.65	2.51

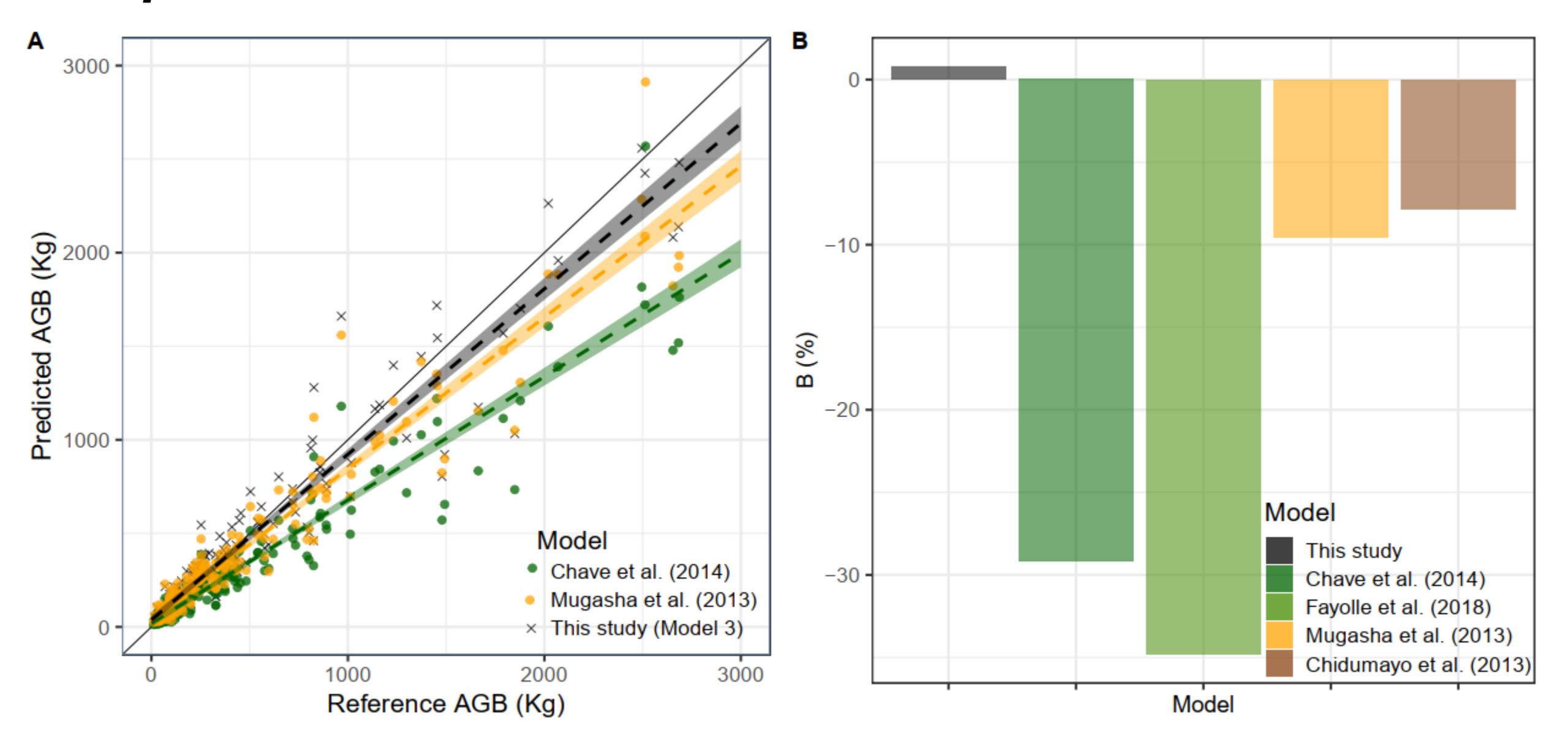


Mod. 3: $ln(AGB) \sim -2.59 + 0.98 \times ln(DBH^2 \times H \times WD)$

Comparaison avec la littérature



Comparaison avec la littérature



Points importants

✓ D'implémenter une approche semi supervisée pour le traitement des données TLS dans le Miombo

- ✓ De doter la RD Congo des équations allométriques de biomasse de référence pour le Miombo
 - Des processus tels que la REDD+ et MNV

✓ De servir à la calibration des estimations d'AGB issues des satellites GEDI (NASA) ou BIOMASS (ESA)

Next Points

☐ Coupler l'échantillonnage TLS à l'approche destructive

Dériver les métriques de structure du houppier permettant d'améliorer la calibration de ces équations allométriques

Merci de votre attention

